

## 로보트용 내접 유성식 감속기의 설계에 대한 연구

# ( A study on the design of planocentric gear reducer used in industrial robots )

이 성철、오 박근、권 오간\*

( \* 한국 과학기술원, 기계공학부 )

13

간질로 보드를 워시안 각종 애니뮤 테이퍼 장치의 간질 구동부는 모터와 감속기의 조합으로 구성되어 있다. 최근에는 감속기를 내재화하지 않는 직접구동 방식이 연구 중이지만 모터는 그 속도를 외진을 시키는 것이 동력밀도가 크기 때문에 대부분 감속기를 사용하여 외진속도를 감속하고 도포크를 중대아이 애니뮤 테이퍼를 구동시키고 있다.

도보드용 감속기는 첫째 그감속을 밀었고 애고 있다. 감속비가  
줄수록 큰 도보드를 일을 수 있으므로, 시보센서를 위치센서로  
사용하는 경우 의의적 본능력이 높아지며 위치제어의 정도가  
양상되는 잇점이 있다. 둘째, 도보드의 저중성을 강화하고 안정성을  
알보할 수 있도록 소 Ying, 경량의 특성이 요구되고 세째, 운동  
의 정도를 보증할 수 있도록 로스트 모션의 적어야 한다. 이와  
같은 특성이 충족시키기 위한 소 카주차 방식의 내집 유성식  
감속기와 주속식 '감속기가 도보드의 간접에 대부분 본 사용되고  
있다. 내집 유성식은 그부이를 오이는 도보드 몸체 및 주간접  
의 구동 부분에 사용되고 주속식은 큰 부이를 오이지 않는 간접  
과 소목부위에 사용된다.

본 연구에서는 내집 유성식 감속기의 국산화를 도모하기 위하여  
원동형 민을 내지자 치양으로 사용한 내집 유성식 감속기의 설계  
기술을 개발하였다. 치양 수장기수를 도입하여 수장기수 변화에  
대한 치양의 민화와 접촉, 아종 및 응력의 민화를 검토하고  
도모고 진단시 기구에 작용되는 압력을 예상하여 내집 유성식  
감속기의 설계 기법을 제시하였다.

## 2. 내장 유산식 감속 기의 치료법

## 2.1. 감속 기와 구조

내집 유성식 감속기의 주요구조는 아우징에 고정된 내치자, 편심 외전운동을 하는 월 및 출력장치로 구성되어 있다. 감속기의 기구 악적 특징은 월이 입력축과 베이팅으로 분리되어 편성되어 장착되기 때문에 입력축 외전은 월의 통상 위치 외전에 기여하게 되고 베이팅의 마찰을 무시하면 월은 병진운동만 한다. 월의 병진운동으로 월각 내치자는 치점축을 악게 되어 치수와 차에 따라 월은 입력축 반대 방향으로 감속된 외전운동을 한다. 내치자의 치수를  $Z_p$  라고 월의 치수를  $Z_t$  라고 하면 감속비는 다음식으로 구해진다

$$q = Z_t / (Z_0 - Z_t)$$

이와같이 내직 유성식 감속기의 감속비는 차수차에 의해서 결정되므로 큰 감속비를 용이하게 일을 수 있다. 그러나 인물류우드 차임을 사용하면 차수차를 적게 아꼈을 때 차간섭 발생을 피할 수 있으므로 내차차는 원동영 편을 사용하고 원은 이와 상대되는 차임으로 채택한다.

### 2.2. 지역의 실제

기어 전동에 있어서 치열국선의 가장 중요한 조건은 물음  
법칙으로 기어의 모든 물정위치에서 두 기어의 각속도 비가  
일정해야 한다는 것이다. 이러한 조건을 만족시키기 위해서  
는 접촉점에서 세운 궁동법선이 미지점을 동각야어야 한다.  
내전 유식의 각속도 비는 원래 중심의 내각자 중심에 대하여

외진을 아기 때문에 미치인 자체가 외진을 아기 된다. 이와 같은 경우에는 두 미치인의 굴동운동이 원활이 이루어질 수 있는 기구 악적 조건으로 치임을 선택하는 것이 기어의 물음법칙을 만족하게 된다.

Fig. 1에서 내접하는 두 미치인의 반경을  $r_1, r_2$  라 하고 반경  $r_h$  인 이유정에 편이 위치하였을 때 미치인의 굴동운동으로 푸드 편의 상대치임 즉. 일의 치임이 결정된다. 실제의 운동은 내치차가 고정되고 미치인  $r_1$  이 운동을 아기되나 편에 상당하는 치임을 구하기 위해 일의 미치임을 고정시키고 내치차 미치인의 외진하는 것으로 한다.

미치인의 접점이  $A_0$  에서 원  $r_2$  의 굴동운동에 의해 A로 이동하였다고 하면 다음과 같은 기아악적 조건을 만족해야 한다.

$$r_1\delta \approx r_2\theta \quad \dots \dots \dots \text{식(1)}$$

Fig. 1에 표시한 각도들의 기아악적 관계는 다음과 같으며

$$\alpha = \phi - \theta = \frac{e}{r_1}\theta$$

$$\beta' = \frac{\pi}{2} - \alpha$$

$$\beta = \theta - \beta' \quad \dots \dots \dots \text{식(2)}$$

편 중심의 궤적은 다음식으로 구해진다.

$$\begin{aligned} x_p &= r_h \cos \delta - e \cos \beta \\ &= r_h \sin \left( \frac{e}{r_1} \theta \right) - e \sin \left( \frac{e}{r_1} \theta \right) \\ y_p &= r_h \cos \left( \frac{e}{r_1} \theta \right) - e \cos \left( \frac{e}{r_1} \theta \right) \quad \dots \dots \dots \text{식(3)} \end{aligned}$$

식(3)의 궤적곡선의 임의의 위치에서 각률은 식(4)로 구해지며

$$\rho(\theta) = \frac{1}{\sqrt{\left( \frac{dy}{d\theta} \right)^2 + \left( \frac{dx}{d\theta} \right)^2}} \quad \dots \dots \dots \text{식(4)}$$

$$\text{여기서 } ds = \sqrt{dx^2 + dy^2}$$

이로부터 이불류우드는 식(5)로 계산된다.

$$\begin{aligned} x_e &= x_p + \rho(\theta) \cos \beta \\ y_e &= y_p + \rho(\theta) \sin \beta \quad \dots \dots \dots \text{식(5)} \end{aligned}$$

$$\text{여기서 } \beta = \tan^{-1} \left( \frac{dy/d\theta}{dx/d\theta} \right)$$

치임은 편 중심의 궤적에 대한 등거리 곡선이 되어야 기어의 물음법칙이 만족되므로 식(5)의 이불류우드에 대한 이불류우드로 계약하면 된다. 따라서 편의 반경을  $r_p$  일 때 편 중심 궤적 곡선의 오차를 그리하여 치임곡선을 구하면 다음과 같게된다.

$$\begin{aligned} x_e &= x_p - \{ \rho(\theta) + S r_p \} \cos \beta \\ &= x_p - S r_p \cos \beta \\ y_e &= y_p - S r_p \sin \beta \quad \dots \dots \dots \text{식(6)} \\ \text{여기서 } S &= 1 \text{ 폴록 (convex)} \\ &= -1 \text{ 오목 (concave)} \end{aligned}$$

식(3)과 식(6)은 식(5)의 이불류우드에 대한 두 개의 이불류우드로 서로 대칭이며  $r_p$  만큼 밀어진 곡선이 된다. 식(6)은 기아악적으로 Fig. 1에서 B 정의 궤적이 된다.

치임의 영성 조건을 살펴보면 식(3)의 궤적이 초기의  $P_0$  위치에서 어긋나지 않아야 한다. 즉. Fig. 1에서  $\theta$  가  $2\pi$  일 때 좌측에 있는 편이  $P_0$  의 위치로 이동하여야 하므로,  $\alpha$  가 편의 등분각이 되어야 한다.

$$\alpha_p = \frac{e}{r_1} 2\pi$$

따라서 편의 갯수는 다음과 같아야 한다.

$$z_p = r_h / e \quad \dots \dots \dots \text{식(7)}$$

일에서 영성되는 하나의 치임은 편 중심의 궤적이 두 미치인 중심의 인장선상에 위치하여야 하므로  $\theta$  가  $2\pi$  외진아었을 때가 되어, 치의 갯수는 다음과 같이 구해진다.

$$z_t = r_h / e \quad \dots \dots \dots \text{식(8)}$$

편의 갯수가 많은 고감속의 감속기에서는 식(7)로 계산되는 갯수도 내치차를 구성하면 편의 크기가 매우 적어지므로 편의 갯수를 실안으로 풀어 편을 하나씩 건너가면서 계산하기도 한다. 그러나 기본설계는 동일하고 일의 전 구간에서 접촉을 하므로 문제점은 없다.

### 2.3. 치임의 수장

이우정과 내치차, 미치인의 반경을 같게 하여 설계한 경우를 비수정 치임이라고 하며, 이우정의 반경을 미치인 반경과 다르게 설계한 치임을 수정 치임이라고 한다.

' 치명의 수정개수를 다음과 같이 정의하고

$$\chi = \frac{r_n - r_2}{r_1} \quad \dots \dots \dots \text{식(9)}$$

식(7), (8)의 조건을 대입하면 미지원 반경은 다음식으로 구해진다.

$$r_a = r_b (1-\lambda)$$

$$r_1 = r_2 \cdot z_t / z_p$$

$$e = T_2 - T_1 \quad \dots \dots \dots \text{식(10)}$$

이 식에서 수정계수의 증가는 미치원의 크기와 편심량을  
감소시키는 것을 알 수 있다.

수정계수에 따른 극률반경의 변화를 경로안 것이 Fig. 2에 주어져 있다. Fig. 2에서 좌축부분은 민중심 궤적의 극률반경이고 우측은 치임곡선의 극률반경 변화를 나타내고 있으며, 음의 부오는 불록안 극률, 양의 부오는 오목안 극률을 표시한다. 오목안 부분의 치임은 민각 내접접촉을 야고 불록안 부분은 외접접촉을 야기 된다. 치임의 극률에 있어서 주의해야 할 사항은 민 중심 궤적의 극률이 오목안 경우에는 민의 반경을 더한 것이 치임의 극률반경이 되므로 접속에 문제가 없지만 불록안 경우에는 민의 반경을 감안 것이 치임의 극률반경이 되기 때문에 경우에 따라 음의 값을 나타내기도 한다.

Fig. 2에서 미수 정 치영에서 이러한 현상이 나타나는 것을 볼 수 있는 대 그 의미는 Fig. 1에서 B 정의 계적을 치영으로 이었을 때 치 간섭이 발생되는 것을 뜻한다. 따라서 치영식 개식에는 적당한 곳의 수정기수를 설정하여 치간섭을 방지해야 한다.

### 3 출 락장치의 설계

### 3.1. 꽃의 운동

월 중심의 원전운동과 치전족으로 인아이 월은 병진운동과  
원전운동을 동시에 아끼 되므로 병진운동을 풀 수 있고 원전  
운동만 전달할 수 있는 축적장치의 설계가 필요하다.

월의 반침울동에 의한 충격을 감소시키고 부아용량을 증대  
하기 위하여 월은 2개를  $180^{\circ}$  위상차가 되도록 장착하여  
사용되므로 출력장치 설치시 위상차가 있는 월의 상대온도  
을 고려하여야 한다.

Fig.3 은 두 개의 원을 원상각  $180^\circ$  되도록 장착한 그림이며, 여기서 O는 이유정의 중심,  $H_f$ 는 전면에 위치한 월의 중심,  $H_p$ 은 무인 월의 중심을 표시한다. 이유정 중심과 월 중심을 연결한 선상에 위치하고 각각의 월 중심에서 d가 펼어진 F와 R점의 운동을 살펴보면 다음과 같다.

F 정의 운동계적 방정식은 입력축의 악천 각속도를 0  
월의 감속된 각속도로 나타하면 다음식으로 주어진다.

$$x_t = e \sin \theta - d \sin \alpha$$

$$y_4 = e \cos \theta + d \cos \alpha \dots \dots \dots \text{Eq(11)}$$

마찬가지 방법으로 R 점의 운동 규칙은 다음식으로 구해  
진다.

$$x_7 = -e \sin \theta - d \cos \theta$$

$$y_r = -e^r \cos \theta + d \sin \phi \quad \dots \dots \quad \text{식(12)}$$

F 와 R 의 중심점인 H<sub>1</sub>의 운동方程式(11)과 (12) 도  
부탁

$$x_h = (x_4 + x_1)/2 = -c \sin \chi$$

$$y_b = d \cos \alpha \quad \dots \dots \dots \quad \text{Eq}(13)$$

따라서 B 정의 운동은 이유정을 중심으로 하고 입체축 외전과 반대방향으로 일의 강속된 외전만 나타내고 있음을 알 수 있다. F 악 R 의 상대방위 변화를 살펴보면 두정의 거리 S는 편심방의 두께로 암상이 점차하고

$$S = \sqrt{(x_4 - x_1)^2 + (y_4 - y_1)^2}$$

RF 가 연직선과 이루는 각 8 는

$$\tan \rho = \frac{x_f - x_r}{y_f - y_r}$$

입력축 회전각 0 와 같게 된다.

### 3.2. 출력기구

두 절의 대응하는 두 점 F와 R의 운동은 H 점을 중심으로 외진운동을 하며, H 점은 강속단 절의 외진운동을 아끼므로 Fig.4와 같이 케리어 맨을 사용하면 케리어 맨으로 절의 외진운동을 추출하고 케리어 맨 삽입 구멍을 크게 둠이 절의 상대운동을 이용할 수 있다. 전면 절과 우연 절의 상대운동을 적어야지 않기 때문에 Fig.4에서 각 제언은 다음의 조건을 만족시켜야 한다.

$$r_e - r_d = c, \quad r_c = d \quad \dots \dots \dots \text{식(16)}$$

식(16)에서 치항의 수정도 출력장치에 중요 안정성을 미치는 것을 알 수 있다. 즉, 동일한 크기의 케리어 맨 구멍에 대하여 편심량이 적어질수록 케리어 맨의 크기가 커지기 때문에 치항의 수정은 치집축 특성을 개선할 뿐만 아니라 출력기구의 부수용 정도를 증가시키게 된다.

### 4. 강도 예식

#### 4.1. 맨에 본 배되는 악종

내집 유성식 강속기는 절과 맨이 전 구간에서 치집축을 아끼므로 맨에 아종이 본 배되어 된다. 치집식 절과 맨이 원형을 유지한다고 가정하면 접촉점에 본 배되는 악종은 Fig.5에 도시한 바와같이 오엔드 악암의 길이에 비례하게 된다. 따라서 맨에 작용하는 최대 악종은 오엔드 악암의 길이가 미치원 반경  $r_1$ 이 될 때이며, 각 맨에 작용하는 악종은 다음 각 값이 표시할 수 있다.

$$P_A = P_m (l_a / r_1) \quad \dots \dots \dots \text{식(17)}$$

$$\text{여기서 } l_a = \frac{r_1 r_h}{d_a} \sin \theta_a$$

$$d_a^2 = r_h^2 + r_1^2 - 2r_h r_1 \cos \theta_a$$

절의 전달하는 오엔드는 각 맨의 작용 악종으로부터 다음 각 값이 구해지며

$$M = \sum_{a=1}^{z_p/2} P_a l_a \\ = \frac{P_m}{r_1} \pi l_a^2 \quad \dots \dots \dots \text{식(18)}$$

아우 점에 작용하는 압력을 다음 식으로 계산된다.

$$P_x = \sum P_a \sin \theta_a = \frac{M}{r_1}$$

$$P_y = \sum P_a \cos \theta_a = K_y \frac{M}{r_1} \quad \dots \dots \dots \text{식(19)}$$

$$\text{여기서 } K_y = \frac{\sum \sin \theta_a \cos \theta_a}{\sum \sin^2 \theta_a}$$

$$\sin \theta_a = \frac{r_h}{d_a} \sin \theta_a$$

최대이중이 작용하는 위치는 Fig.1에서 L이  $r_1$  일 때가 되므로 다음 각 값이 구해진다.

$$\theta = \tan^{-1} \frac{r_h}{r_1} \quad \dots \dots \dots \text{식(20)}$$

치항이 작용하는 최대 접촉응력을 등가 단성계수를 E, 등각 국률반경을 R, 절의 두께를 f라 하면 다음 식으로 계산된다.

$$S = \sqrt{\frac{P_m (l_a / r_1) E}{2 \pi f R}} \quad \dots \dots \dots \text{식(21)}$$

이 식에서 상수들 정리하면

$$S = C \sqrt{\frac{l_a}{R}}$$

따라서 최대 접촉응력이 발생하는 위치는  $R/R$ 이 최대인 점이 되고  $R/R$ 은 0과 복합안 암수 관계에 있기 때문에 정류지를 사용하여 수치예식으로 구해야 한다.

#### 4.2. 케리어 맨에 작용하는 악종

케리어 맨의 원형식 단면이 원형을 유지한다고 가정하고 케리어 맨을 이노각  $\alpha$  외전 측면면 케리어 물각의 중심 거리 면에는 Fig.6에서 다음 각 값이 표시된다.

$$\delta C = c \sqrt{1 + \frac{1}{e} \{ 2 T_c \delta \alpha \sin \alpha + (T_c \delta \alpha)^2 / e \}} - c$$

여기서 미소 암을 무시하면 균사적으로 다음 각 값이 정리된다.

$$\delta C = T_c \delta \alpha \sin \alpha \quad \dots \dots \dots \text{식(22)}$$

케리어 맨의 미소원상에 무한개의 맨이 존재한다고 가정하고 작용하는 최대 악종을  $a_m$ 이라 하면 임의의  $\alpha$  위치에서 악종과 오엔드 압은 다음과 같게 되며

$$q = q_m \sin \alpha, \quad l = r_c \sin \alpha$$

모멘트는 다음식으로 구해진다.

$$M = \int_0^{\pi} \rho_m r^2 \sin^2 \alpha \, d\alpha \\ = \frac{\pi}{2} \rho_m r_c^2 \quad \dots\dots\dots \text{식(23)}$$

캐리어 빙에 의해서 힘이 받는 풍압은 본래 아종  $q$  를  
식문하면 계산되고

$$Q_i = \int_0^{\pi} \rho_m \sin \alpha \, T_c \, d\alpha \\ = \frac{4}{\pi} \rho_m T_c \quad \dots\dots\dots \text{식(24)}$$

작용 방향은 아우강 중심과 월 중심을 지나는 선과 평행한  
방향이다.

각 캐리어 빙에 작용하는 아종은 빙의 갯수를  $Z_c$  라 하고  
캐리어 빙이 이루는 각을  $\alpha$  라 하면 아종은 캐리어 위치원  
단의 길이당의 빙의 갯수 ( $Z_c/2\pi r_c$ ) 를 나누어 구해진다.

$$Q_i = \frac{4M}{T_c Z_c} \sin \alpha \quad \dots\dots\dots \text{식(25)}$$

캐리어 빙이 작용하는 최대 아종은  $\alpha = \pi/2$  일 때이며,  
위의 식에 대입하면 다음과 같다.

$$Q_{im} = \frac{4M}{\pi Z_c} \quad \dots\dots\dots \text{식(26)}$$

#### 4.3. 베어링에 작용하는 아종

베어링이 받게 되는 아종은 빙의 반발력과 캐리어 빙의 반발력  
의 합성적으로 식(19)와 (24)로 부터 다음과 같이 계산  
된다.

$$R_b = \frac{M}{r_i} \sqrt{1 + \left(\frac{4}{\pi} \frac{r_i}{r_c} + k_y\right)^2} \\ \dots\dots\dots \text{식(27)}$$

아종의 작용방향이 아우강 중심과 월 중심을 연결한 선으로  
부터 이후는 각  $\theta_b$  는

$$\theta_b = \sin^{-1} \frac{P_x}{R_b}$$

로 정점에서 외진방향 쪽으로 치우쳐 있다.

내접 유성식 강속기에서 베어링은 구조적으로 크기가 제한되고  
아종을 받는 부분이 양상 일정한 위치가 되기 때문에 손상의  
발생빈도가 가장 크다.

#### 5. 내접 유성식 강속기의 설계

##### 5.1. 치영 수정계수가 미치는 영향

본 연구의 설계에서 사용한 강속기의 기본 계원은 Table 19  
주어져 있다. 수정계수에 대한 월의 치영곡선과 치연에  
작용하는 아종 및 접촉용력의 변화는 Fig. 7 각 같다.  
이기시 정 및 아종의 위치는 입탁축의  $2\pi/Z_p$  간격으로 외전  
하였을 때의 접촉 위치를 표시하고 있다. 실제 계산에서는  
수정계수를 0.0에서부터 0.02씩 증가시키면서 검토하였는데  
0.0~0.16의 수정계수에서는 차간설을 나타냈다. Fig. 7에서  
수정계수 가 증가하면 아종의 변화양태가 암호에 따른 치영의  
연곡정, 최대아종 및 용력 작용점의 위치가 차지 부근으로  
이동하고 치 접촉점의 분산되는 경향을 보여주고 있다.  
수정계수가 적은 경우에는 치영의 곡률 변화가 크고 최대  
용력 작용점은 극 끝이, 작기 때문에 접촉 용력이 급격하게  
변화되는 것을 볼 수 있다.

Table 2 는 수정계수에 대한 강도 예상 결과로 수정계수가  
부지연 동일한 모멘트 전달시 빙에 작용하는 아종과 베어링  
에 걸리는 아종이 증가되고 베어링의 수명이 급격하게  
저하된다. Table 2에서 베어링의 수명은 수정계수가  
0.18일 때를 100%로 하여 각 수정계수에서의 수명을 백분율  
로 표시한 것이다. 수정계수와 편심량의 관계는 Table 3에  
제시되어 있으며, 수정계수 증가에 따라 편심량은 감소하고  
캐리어 빙의 크기는 커지게 된다.

##### 5.2. 치영 수정계수의 선정

동일한 모멘트를 전달하는 것으로 가정하고 수정계수의 증가  
가 미치는 영향을 검토하면

1. 빙이 받는 아종이 증가한다.
2. 치영의 곡률이 커지므로 최대 접촉용력은 감소된다.
3. 베어링에 작용하는 아종이 커지 베어링 수명은 급격히  
저하된다.
4. 아종변화가 안전에 친다.
5. 편심량이 커지므로 상대적으로 가공도차 범위가 좁아진다.

강속기의 크기가 큰 경우에는 베어링 노타 빙에의 강도가  
제한을 받으며, 치영의 영상이 커지고 편심량도 비교적 큰  
값을 갖기 때문에 가공상의 제약이 줄어들어 수정계수를 크게  
할 수도 있으나 수명의 고강속 장치에서는 베어링이 히약하게  
되고 치영과 편심량의 정밀기준이 가장 중요 안전제가 되므로  
수정계수를 적은 값으로 선정해야 한다.

### 5.3. 설계 예

감속 기의 설계에 있어서 수정계수는 치 간섭이 발생하지 않는 최소 값 0.18로 설정하였다. 그러나 이때 편심량이 0.656mm가 되므로 편심량을 0.65mm 설정하여 설계에 사용한 수정계수는 0.1875로 하였다. 감속 기의 설계 데이터는 Table 4에 제시한 바와 같이 계산되었으나, 여기서 강도 애석은 제로의 물성학적 원리에 작용하는 오언드에 대한 계수로 구하였다. Fig. 8은 컴퓨터 그래픽 도면으로 감속 기의 초립된 상태를 도시하고 Fig. 9는 식(3)~(6)으로 계산한 1번 출심의 계획, 이플류우드와 치임곡선을 나타낸다. Fig. 10은 접촉 응력의 변화를 도시한 것으로 a가 1번 출이 접촉하는 위치일 때 b, c, d는 각각 2, 3, 4 번 출이 접촉하는 위치를 나타낸다.

### 6. 결론

내장 유성식 감속 기와 치임설계와 감속 기구의 구조적 설계 방법을 제시하였다. 치임 수정계수 가 인치는 영양을 감도한 결과 감속 기의 사용 용도에 의하여 수정계수를 선정해야함을 규명하였다. 본 연구의 설계 방법에 의하여 감속비 59:1의 고감속 장치를 설계하였다.

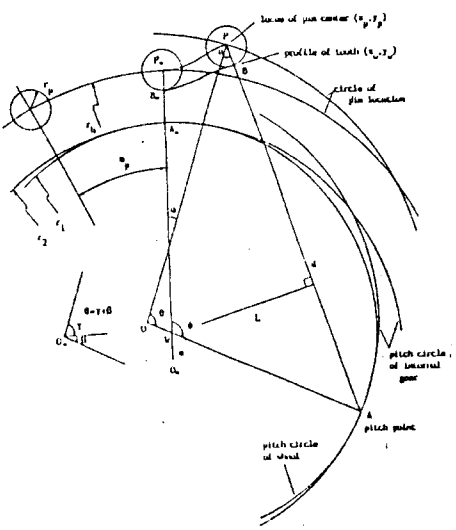


Fig. 1 Gear tooth generation

### 우기

본 연구는 과학기술처에서 시행한 특장연구개발 사업으로 수행되었음을 밝이며, 이에 감사드립니다.

### 참고문헌

- Igor Alexander, Robot components and system : Robot technology V.4, Prentice-Hall, Inc., 1983.
- George W. Michalec, Precision gearing : Theory and practice, John Wiley & Sons, Inc., 1966.
- 仙波正莊, 齧車 第十卷, 日用工業新聞社, 1977.
- 飯倉省一, “ロボト開発におけるアクチュエータの問題點”, 日本ロボット学会誌, 2巻4号, 1984年8月。
- 飯倉省一, “減速装置とトルク傳達”, 機械設計, 第30卷, 第8號, 1986.
- 林昇, “齒車機構”, 機械設計, 第28卷, 第8號, 1984.
- Nicholas P.Chironis, Gear design and application, McGraw-Hill Book Company, New York, 1967.

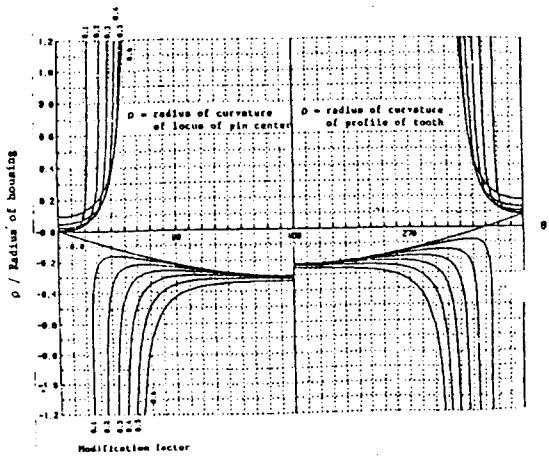


Fig. 2 Variations of dimensionless radius of curvature ( $r_h=100, r_p=8, z=12, z_t=11$ )

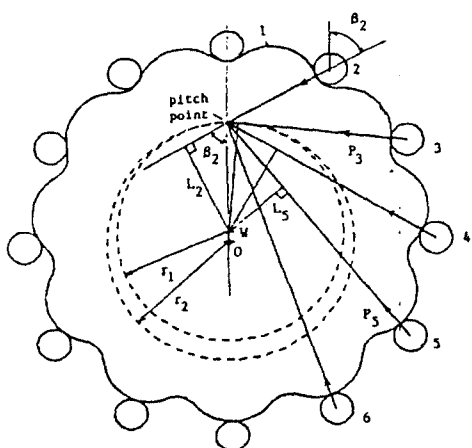
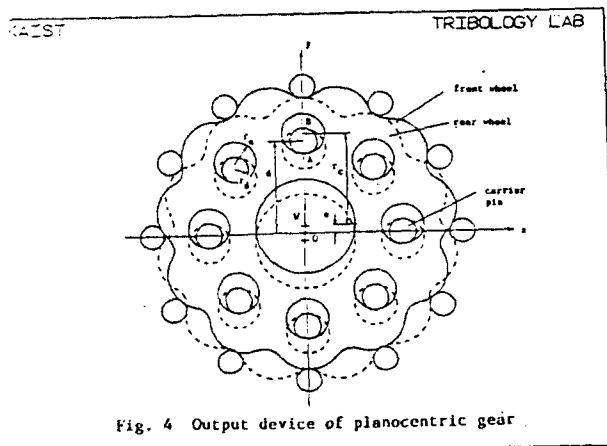
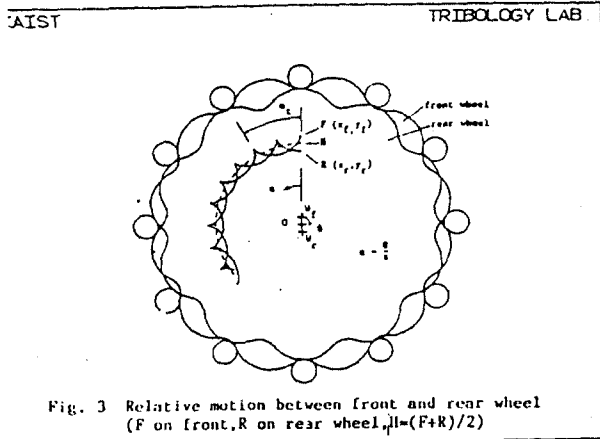


Fig. 5 Forces transmitted from pins to wheel

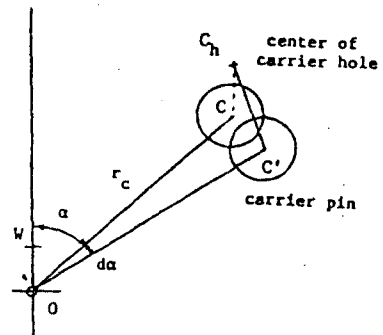


Fig. 6 Infinitesimal displacement of carrier pin

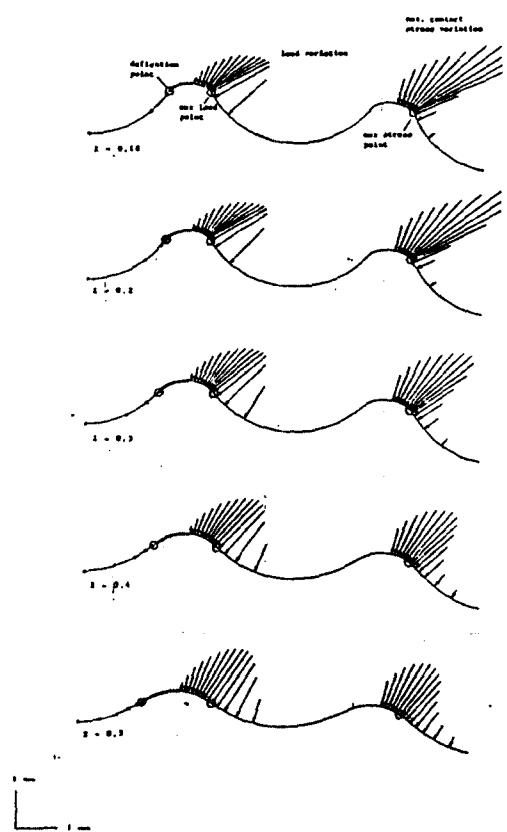


Fig. 7 Variations of load & contact stress on tooth surface

Table 1 Data for design of torque driver

Housing radius	- 48 mm
Radius of internal pin	- 2.25 mm
Number of pins	- 30
Number of teeth	- 59
Reduction ratio	- 59

Table 2 Loads on the pins & bearing

Modification factor	$P_a = C_a M$ $C_a (X10^{-3})$	$Q_a = C_b M$ $C_b (X10^{-3})$	$P_r = C_r M$ $C_r (X10^{-3})$	$P = C_s M$ $C_s (X10^{-3})$	$Q_r = C_t M$ $C_t (X10^{-3})$	$R_b = C_u M$ $C_u (X10^{-3})$	L %
0.18	3.449	1.488	2.584	1.116	2.814	3.739	3.718 100
0.2	3.534	"	2.648	1.098	2.867	"	3.776 95.0
0.3	4.021	"	3.027	1.034	3.198	"	4.093 72.6
0.4	4.708	"	3.531	0.992	3.668	"	4.505 52.7
0.5	5.650	"	4.237	0.963	4.345	"	5.093 35.0
0.6	7.062	"	5.297	0.942	5.380	"	6.013 20.1
0.7	9.416	"	7.062	0.927	7.123	"	7.620 -
0.8	14.12	"	10.59	0.917	10.63	"	10.98 -

$P_a$  : Max. load on the pin

$P$  : Reaction force of internal pins

$Q_a$  : Max. load on the carrier pin

$Q$  : Reaction force of carrier pins

M : Moment of wheel

R : Applied load on bearing

L : Relative bearing life

Table 3 Effect of modification factor on dimensions (rad. of carrier hole=7.3)

(unit : mm)

Modification factor	Radius of pitch circle		Eccentricity	Radius of carrier pin
	r <sub>1</sub>	r <sub>2</sub>		
0.18	38.704	39.360	0.656	6.644
0.2	37.760	38.400	0.640	6.66
0.3	33.040	33.600	0.560	6.74
0.4	28.320	28.800	0.480	6.82
0.5	23.600	24.000	0.400	6.90
0.6	18.880	19.200	0.320	6.98
0.7	14.160	14.400	0.240	7.06
0.8	9.440	9.600	0.160	7.14

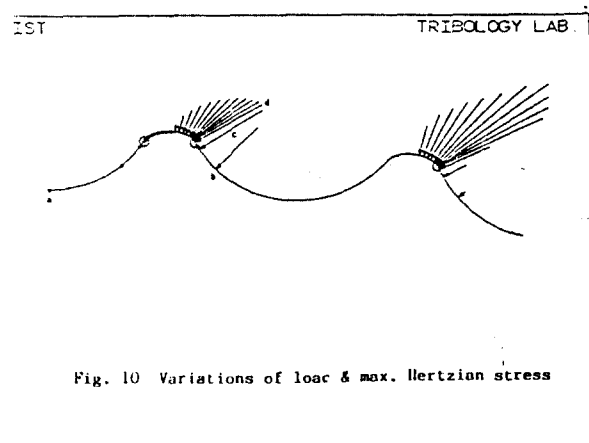
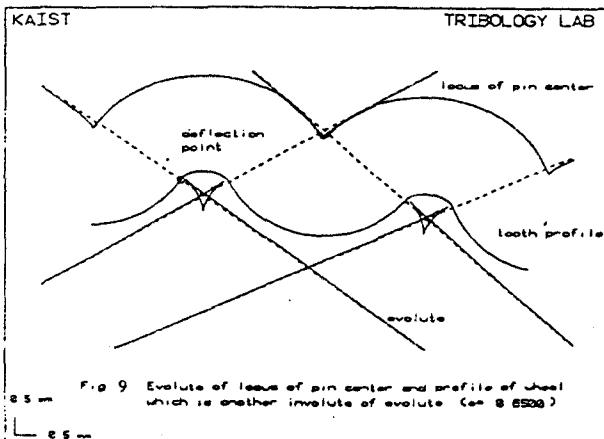
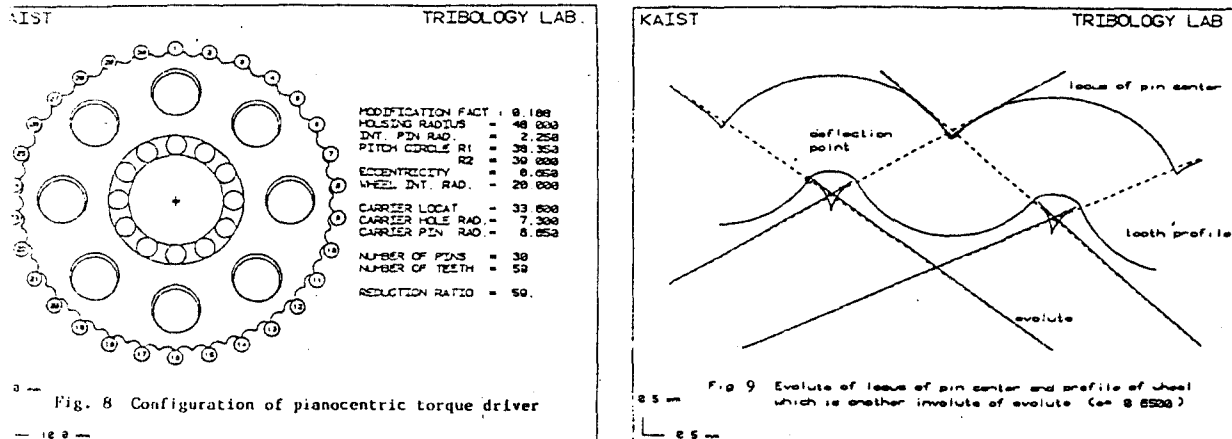


Table 4 Design results of torque driver

DESIGN DATA OF TORQUE DRIVER	
484 DIMENSIONS (mm)	
MODIFICATION FACTOR	= 0.1875
RADIUS OF HOUSING (mm)	= 48.0000
RAD. OF PIN (mm)	= 2.2500
RAD. OF PITCH CIRCLE :	
INTERNAL GEAR (mm)	= 38.3500
INTERNAL GEAR (mm)	= 39.0000
ECCENTRICITY (mm)	= 0.0500
DET. RAD. OF WHEEL (mm)	= 46.4000
ROT. RAD. OF WHEEL (mm)	= 45.0000
INT. RAD. OF WHEEL (mm)	= 36.0000
LOCAT. OF CAR. HOLE (mm)	= 33.0000
RADIUS OF CAR. HOLE (mm)	= 7.3000
RADIUS OF CAR. PIN (mm)	= 6.0500
NUMBER OF PINS	= 30.
NUMBER OF TEETH	= 59.
NUMBER OF CAR. PINS	= 8.
REDUCTION RATIO	= 59.
FATIGUE STRENGTH ANALYSIS (1)	
NOTE! R -- MOMENT OF WHEEL , E -- EQUIVALENT YOUNG'S MODULUS F -- FACE WIDTH	
LOADS ON THE PIN :	
RESULTANT FORCE X = 0.2400E-01    R = 11.1111 Y = -0.1100E-01    F = 11.1111	
BENDING = 0.2654E-01    F = 11.1111	
MAX. LOAD ON PIN = 0.3400E-02    R = 11.1111 MAX. CONTACT STRESS = 0.1877E+00    BENDING/R/(2E0)E(F)	
LOADS ON CARRIER PIN :	
RESULTANT FORCE = 0.3740E-01    R = 11.1111 MAX. LOAD ON CAR PIN = 0.1400E-01    R = 11.1111 MAX. CONTACT STRESS = 0.1412E-01    BENDING/(2E0)E(F) BENDING STRESS = 0.1611E-03    F = 11.1111	
LOADS ON BEARING :	
RESULTANT FORCE = 0.3740E-01    R = 11.1111	
Critical Points of Wheel :	
DEFLECTION POINT (X,Y) = 0.1939E-01 0.4410E-02 AND = 0.2379E-01 MAX. LOAD POINT = 0.2790E-01 0.4607E-02 AND = 0.3499E-01 MAX. STRESS POINT = 0.2943E-01 0.4613E-02 AND = 0.3447E-01	